

山梨大学工学部 正員 平島 健一
福島高等専門学校 正員。根岸 義和

1. 緒言.

著者の一人は先に、圧力仮定にもとづく平板曲げの理論について発表したが¹⁾、圧力不連續性が生じる層状性板や板厚と支向の比 $2b/L$ が大きくなると必ずしも精度より結果が得られなくなることから、そこでは、それらの欠点を取り除くため三次元変位 U_j ($j=1, 2, 3$) と平板の厚さ方向にベキ級数展開 (ベキ級数、Legendre多項式、Chebyshev多項式およびFourier級数の4種類の展開) と行なう。面内・面外の相互作用がある場合とも含めて一般的には平板への適用性を考慮した運算を求めると共に、幾つかの代表例について三次元弾性論による厳密解との数値的比較を行なった結果について述べる。なお、従来までの代表的な研究成果として、変位と板厚方向にベキ級数展開したものに Mindlin (1951, 1955, 1956, 1961)²⁾, Lo & others (1977, 1978) を挙げると共に³⁾、Legendre展開を行なったものに Mindlin & Medrich (1959)⁴⁾, Medrich & Pao (1965), Moon (1972, 1973)⁵⁾、また Fourier cosine展開を行なったものに Lee & Nikodem (1972, 1974)⁶⁾ 等を列挙することができる。

2. 二次元化平板理論の誘導.

紙面の都合上、ベキ展開によ
ることの Fourier sine & cosine 展開に
よる式を示す。

(A) 変位のベキ級数展開

$$U_i(x_1, x_2, x_3, t) = \sum_{n=1}^{\infty} X_n^{(n)} U_i^{(n)}(x_1, x_2, t).$$

Figure 1. Geometry of laminated rectangular plate.

代入し、一般化変分原理の式によつて整理すると最終的に二次元化された運動方程式と境界条件式が求められることは。

$$\tilde{T}_j^{(n)} = N_d \tilde{\tau}_{d j}^{(n)} \quad \text{or} \quad \tilde{U}_j^{(n)} = U_{\bar{j}}^{(n)} \quad \text{on } C \quad \dots \dots \dots \quad (2)$$

$$= \int_{-b}^b \chi_x'' \cdot \nabla_{\tilde{x}} f d\tilde{x}_x, \quad F_j^{(m)} = \left[\nabla_{\tilde{x}_j} \cdot \chi_x'' \right]_b, \quad f_j^{(m)} = \int_{-b}^b \chi_x'' \cdot f_j d\tilde{x}_x,$$

$$\frac{x^{(m)}}{T_L} = \int_a^b x_2^m \cdot (N_d T_{d2})_r dx_2, \quad \rho^{(m,n)} = \int_a^b x_2^{m+n} \cdot \rho dx_2$$

上式中の ϵ_{ij} : 応力テンソル, f_i : 物体力ベクトル, ρ : 密度を表す.

いま一般化 Hooke の法則によって構成方程式を与えるものとすれば、

$$T_{ij}^{(n)} = \int_{-b}^b X_x^{(n)} C_{ijkl} U_{kl} dx_x = \sum_{m=0}^{\infty} \left\{ C_{ijkl}^{(m,n)} U_{kl} + (m+1) C_{ijkl}^{(m,n)} U_{kl}^{(m+1)} \right\}, \quad \dots \quad (4)$$

$$z = 1, \quad C_{ijkl}^{(m,n)} = \int_{-b}^b x_2^{m+n} \cdot C_{ijkl} dx_2,$$

この式と式(1)に代入整理すれば、変位係数 $U_{\alpha}^{(n)}$ に関する二次元化された平板の一般的な支配微分方程式が次式のように得られる。

$$\sum_{m=0}^{\infty} \left\{ C_{aj\beta\epsilon}^{(m,n)} U_{e,\alpha\beta}^{(m)} + (m+1) C_{aj2\epsilon}^{(m,n)} U_{e,\alpha}^{(m+1)} \right\} - \sum_{m=0}^{\infty} \left\{ C_{2j\alpha\epsilon}^{(m,n+1)} U_{e,\alpha}^{(m)} \right. \\ \left. + (m+1) C_{2j2\epsilon}^{(m,n+1)} U_{e,\alpha}^{(m+1)} \right\} + F_j^{(n)} + f_j^{(n)} = \sum_{m=0}^{\infty} \rho^{(m,n)} U_e^{(m)}. \quad (5)$$

以上の式でラティ添字は1,2,3と、ギリシア添字は1,3とし、等方性板の場合は C_{ijkl} として次の関係式を用いればよし。

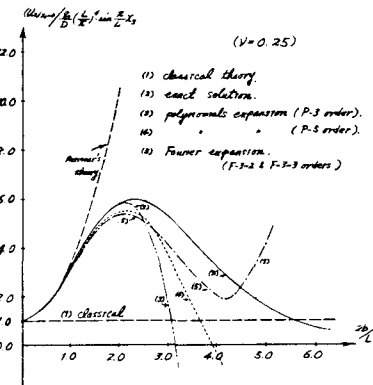
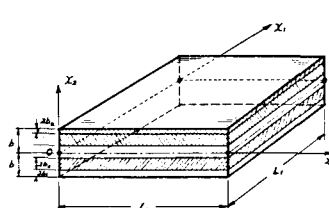


Figure 2 Midplane displacement (U_0)_{x,0} for homogeneous isotropic plate.

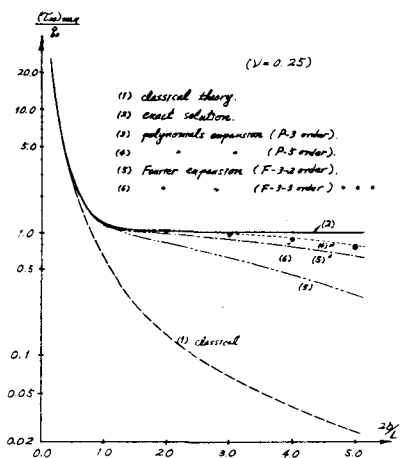


Figure 3 Maximum bending stress ($T_{\text{bd}}^{\text{max}}$) for homogeneous isotropic plate.

(B) 变位の Fourier cosine & sine 展開

$$U_j = \sum_{n=0}^{\infty} U_j^{(n)} \cos \frac{n\pi}{2}(1-\eta) + \sum_{m=1}^{\infty} \hat{U}_j^{(m)} \sin \frac{m\pi}{2}(1-\eta) \dots \dots (7)$$

$\eta = 1 - \frac{x_3}{b}$, $\eta = x_3/b$; $U_j^{(n)}$, $\hat{U}_j^{(m)}$ は共に X_1 , X_3 および η の関数。

以下 (A) の場合と同様の操作により次式のような支配式が得られる。

$$\begin{aligned} \tilde{U}_{ij,x}^{(n)} - \frac{n\pi}{2b} \tilde{U}_{ij,z}^{(n)} + \frac{1}{b} (F_j^{(n)} + f_j^{(n)}) &= \sum_{m=0}^{\infty} \left\{ \bar{\rho}^{(m,n)} U_j^{(m)} + (1-\delta_{mn}) \bar{\rho}^{(m,n)} \hat{U}_j^{(m)} \right\}, \\ \tilde{U}_{ij,z}^{(n)} + \frac{n\pi}{2b} \tilde{U}_{ij,x}^{(n)} + \frac{1}{b} f_j^{(n)} &= \sum_{m=0}^{\infty} \left\{ \bar{\rho}^{(m,n)} U_j^{(m)} + (1-\delta_{mn}) \bar{\rho}^{(m,n)} \hat{U}_j^{(m)} \right\}, \end{aligned} \dots \dots (8)$$

$$\begin{aligned} \tilde{U}_{ij,x}^{(n)} &= \int_{-1}^1 U_j^{(n)} \cos \frac{n\pi}{2}(1-\eta) d\eta, \quad \tilde{U}_{ij,z}^{(n)} = \int_{-1}^1 U_j^{(n)} \sin \frac{n\pi}{2}(1-\eta) d\eta, \\ F_j^{(n)} &= [\tilde{U}_{ij,x}^{(n)} \cos \frac{n\pi}{2}(1-\eta)]'_{-1}, \quad f_j^{(n)} = b [\tilde{U}_{ij,z}^{(n)} \sin \frac{n\pi}{2}(1-\eta)]'_{-1}, \dots \dots (9) \\ \bar{\rho}^{(m,n)} &= \int_{-1}^1 \rho \cos \frac{n\pi}{2}(1-\eta) \cos \frac{m\pi}{2}(1-\eta) d\eta, \text{ etc.} \dots \dots \end{aligned}$$

式 (8) は構成方程式を通して変位係数 $U_j^{(n)}$, $\hat{U}_j^{(m)}$ のみを初期表示すれば構成方程式と等しい。図 3 は省略する。

3. 数値計算例

まず無限長平板の上表面に $\tilde{U}_{zz}|_{X_3=b} = 8.0 \sin \frac{\pi X_1}{L}$ の正弦関数荷重が作用する場合の結果と厳密解との比較として図示したもののが

Fig. 2 & Fig. 3 である。 $\eta = z/b$ は均質等方性 ($\nu = 0.25$) とし $2b/L = 0.25$ の関係を示した。図中の P-3 order とは $U_x^{(3)}, U_z^{(3)}$ を用いたことと意味し、また他方 P-5 order とは $U_x^{(5)}, U_z^{(5)}$ を用いたことを意味し、また他方 F-3-2 order とは $U_x^{(3)}, U_z^{(2)}, \hat{U}_x^{(2)}, \hat{U}_z^{(2)}$ を用いたことを意味して、F-3-3 order とは $U_x^{(3)}, U_z^{(3)}, \hat{U}_x^{(3)}, \hat{U}_z^{(3)}$ を用いたことを意味して、図 3 は結果が共に項数を増加するにつれて厳密解へ収束していく。

Figure 4. Distributions of bending stress T_{33} for cross-ply laminated plate.

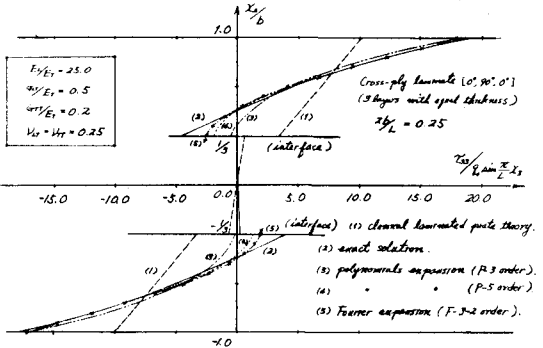


Figure 4. Distributions of bending stress T_{33} for cross-ply laminated plate.

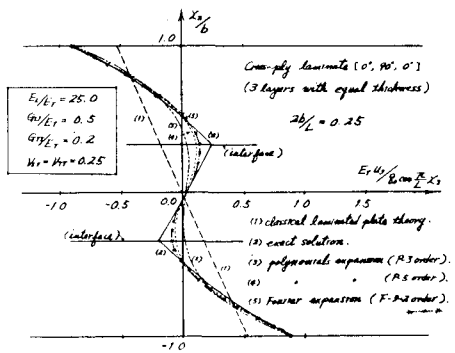


Figure 5. Distributions of in-plane displacement U_3 for cross-ply laminated plate.

次に、等厚の三層の異方性層状平板に前記と同じ表面外荷重が作用した場合の断面内の曲げ応力 \tilde{T}_{33} の分布および面内変位 U_3 の分布と厳密解との比較を含めて図示した結果が Fig. 4 & Fig. 5 である。前例と同じよう負傾向が $\eta = z/b$ も指摘できる。

動的負荷問題の具体例として、無限に拡がる大等方性板の X_3 方向に調和波動が伝播する場合の内振動数 ω と波数 k との関係 E, 中央面に束し、並対称モード (i.e. 曲げのモード) の場合に、最初から半5次のものまでにつけて図示し厳密解によく結果と比較したもののが Fig. 6 である。

次数の低いものは無次元化波数 k の範囲に対して極めて精度の高い結果が得られており、次数が高くなるとその大きさで領域で誤差が徐々に大きくなる傾向を示している。なお、図中には参考のために、Fourier cosine 展開 (F-3 order または) の結果も示されており、

4. 結 言

その他の計算例については学会当日に発表する。

5. 参考文献: 1) 平島・林松; 土木学会論文報告集, No.304 (1980), pp.33~46. 2) Mindlin, R.D.; J. Appl. Mech. (1951), pp.31~38; J. Appl. Phys. (1951), pp.316~323; Quart. Appl. Math., 19 (1961), pp.51~61. 3) Lo, K.H. & Others; J. Appl. Mech. (1977), pp.663~676. 4) Mindlin, R.D. & Medick, M.A.; J. Appl. Mech. (1959), pp.561~569. 5) Moon, F.C.; J. Comp. Mat., 6 (1972), pp.62~79. 6) Lee, P.C.Y. & Nikodem, Z.; Int. J. Solids Struct., 8 (1972), pp.581~612; 10 (1974), pp.177~196.

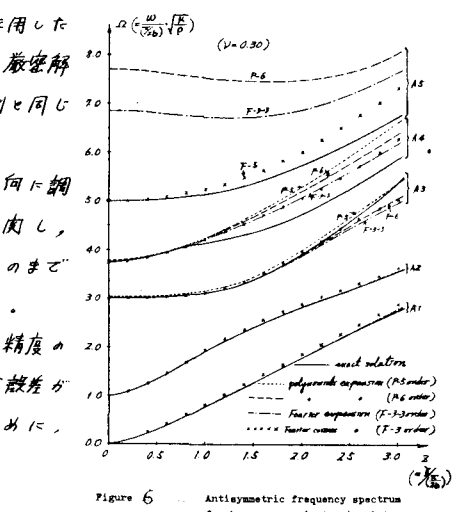


Figure 6. Antisymmetric frequency spectrum for homogeneous isotropic plate.